

## · 基础研究 ·

# 工频磁场对不同细胞密度人骨肉瘤细胞 MG-63 体外增殖的影响

赵文春 吴华 马伟明 郝海虎 张海军 胡安

**【摘要】目的** 研究工频磁场对不同细胞密度人骨肉瘤细胞 MG-63 体外增殖的影响,为揭示磁场所致生物学效应的作用机制提供实验依据。**方法** 在某一细胞密度下( $0.90 \times 10^4$  个/ml),用不同磁感应强度(1 mT、2 mT、3 mT、4 mT)的工频磁场对 MG-63 细胞进行体外辐射,然后改变细胞密度进行重复实验(细胞接种密度分别为  $0.95 \times 10^4$  个/ml、 $1.00 \times 10^4$  个/ml、 $1.10 \times 10^4$  个/ml 和  $1.50 \times 10^4$  个/ml)。完成磁场辐射处理后,采用四唑盐比色法(MTT 法)检测细胞增殖水平。**结果** 磁场对 MG-63 细胞的增殖有明显的诱导效应,不同细胞密度所对应的磁效应明显不同,其中 2 mT 磁刺激组的增值诱导效应最显著。**结论** 工频磁场对 MG-63 细胞体外增殖的影响不仅与磁场强度有关,也与细胞密度密切相关。

**【关键词】** 工频磁场; 人骨肉瘤细胞 MG-63; 增殖; 细胞密度

**The effect of exposure to 50 Hz magnetic fields on the proliferation of different cell densities of human MG-63 osteosarcoma cell line in vitro** ZHAO Wen-chun\*, WU Hua, MA Wei-ming, HAO Hai-hu, ZHANG Hai-jun, HU An. \* Power and Electronics Research Institute, Naval University of Engineering, Wuhan 430033, China

**[Abstract]** **Objective** To study the effects of 50 Hz magnetic fields on the in vitro proliferation of human osteosarcoma cell line MG-63 with different cell densities. **Methods** Four different magnetic intensities(1 mT, 2 mT, 3 mT, 4 mT) were used to stimulate the cells, and the experiment was repeated with different cell densities. The method of MTT was employed to evaluate the level of proliferation. **Results** Fifty Hz magnetic fields significantly affected the level of proliferation of human osteosarcoma cell line MG-63, and the 2 mT intensity exerted the greatest influence on it. The effects of the magnetic field differed with different cell densities. **Conclusion** The effect of 50 Hz magnetic fields on the in vitro proliferation of human osteosarcoma cell line MG-63 was not only related to the magnetic intensity, but also the cell density.

**【Key words】** Fifty Hz magnetic fields; Human osteosarcoma cell line MG-63; Proliferation; Cell density

20 世纪 70 年代以来,脉冲电磁场作为一种非侵入性方法治疗骨折延期愈合及骨不连,因其具有显著的疗效而在矫形外科领域日益受到重视<sup>[1]</sup>。但对于磁效应的机制,现仍不明确。机制研究的前提是明确相应的磁效应特征和磁效应窗口参数。人骨肉瘤细胞 MG-63 具有成骨细胞特性,能在体外稳定地增殖并较好地表达成骨细胞特征蛋白,而且 MG-63 细胞具有成熟的细胞系,无需原代培养,故能节省实验时间,提高实验效率。为此,我们利用工频磁场刺激 MG-63 细胞,研究其体外增殖,以探索电磁参数及相关因子对 MG-63 细胞体外增殖的影响,期望为细胞磁效应机制的论证提供实验依据,并最终为电磁场促进骨折愈合的临床应用提供理论依据。

## 材料与方法

### 一、实验仪器与试剂

实验试剂均为美国 Sigma 公司产品,包括 RPMI1640 培养基、优质小牛血清、胰酶、四甲基偶氮唑蓝(methyl thiazolyl tetrazolium, MTT)和二甲基亚砜(dimethylsulfoxide, DMSO)。检测仪器包括日本产 Olympus 倒置相差显微镜,华东电子管厂产 DG3022A 型酶联免疫检测仪,磁场发生器由海军工程大学电力电子技术研究所设计与制造。

### 二、细胞培养

人骨肉瘤细胞 MG-63 购自武汉大学中国经典培养物保藏中心,接种于 50 ml 含 10% 小牛血清的培养瓶中,置于条件为 37℃、5% CO<sub>2</sub>、饱和湿度培养箱中培养,当细胞铺满瓶底约 80% 时开始传代与接种。

### 三、工频磁场的产生

我们将市电变压后通过 Helmholtz 线圈产生工频磁场。Helmholtz 线圈能在其中部产生 4 阶均匀度的

基金项目:国家自然科学基金项目(50477043)

作者单位:430033 武汉,海军工程大学电力电子技术研究所(赵文春、马伟明、胡安);华中科技大学同济医学院附属同济医院骨科(吴华、郝海虎、张海军)

均匀磁场。本研究采用的 Helmholtz 线圈由一对同向串联且对称平行的圆环状铜线绕组构成,两绕组匝数均为 262 匝,两圆环间的距离等于圆环半径,其值为 10 cm。Helmholtz 线圈两绕组中心对称点的磁感应强度为  $B_0$ ,  $B_0 = \frac{N \cdot \mu_0 \cdot I \cdot R^2}{(R^2 + d^2)^{3/2}}$ , 式中 N 为单个绕组匝数,  $\mu_0$  为真空磁导率, I 为通过两绕组的电流强度, R 为绕组半径,  $d = R/2$ , 为两平行绕组中心对称点到单个绕组中心点的距离。将  $R = 10$  cm,  $N = 262$  代入该式可得  $B_0 = 2.356$  I (mT)。通过理论分析、计算以及霍尔效应测磁仪测量, 磁场发生器磁感应强度均匀性和稳定性良好。

#### 四、磁刺激方法

每次实验取 2 瓶培养好的细胞, 消化混匀后, 调整细胞密度为所需值, 以 200  $\mu$ l/孔接种于 5 块 96 孔培养板中, 并依次将其分为 1 个对照组和 4 个磁刺激组。接种后 36 h, 待细胞贴壁完全、处于对数生长期时, 将磁刺激组细胞置于 Helmholtz 线圈中心给予磁场辐射。选择工频磁场, 作用方向与培养板各孔底平行, 每次辐射时间为 30 min, 每天 2 次, 中间间隔 11.5 h, 持续 3 d。4 个磁刺激组的磁感应强度分别设定为 1 mT、2 mT、3 mT 和 4 mT (有效值)。磁场辐射时, Helmholtz 线圈置于条件为 37°C、5% CO<sub>2</sub>、饱和湿度的培养箱中, 对照组置于另一个条件相同的培养箱中, 但不予以磁场辐射。实验共进行 6 次, 前 2 次为重复性实验, 细胞接种密度均设定为  $0.90 \times 10^4$  个/ml; 第 3~6 次实验的细胞接种密度分别为  $0.95 \times 10^4$  个/ml、 $1.00 \times 10^4$  个/ml、 $1.10 \times 10^4$  个/ml 和  $1.50 \times 10^4$  个/ml。

#### 五、检测方法

在整个实验过程中用倒置相差显微镜跟踪观察细胞形态与生长状况。完成磁场辐射处理后, 采用四唑盐比色法 (MTT 法) 检测细胞增殖水平。先于每孔加入 5 mg/ml 的 MTT 溶液 20  $\mu$ l, 37°C 避光培养 4 h 后, 小心吸取上清; 然后于每孔加入 DMSO 150  $\mu$ l, 充分振荡 10 min 使紫色结晶物溶解; 最后在酶标仪上检测 490 nm 波长处每孔的吸光度 (OD<sub>490</sub>) 值。

表 1 不同细胞接种密度下不同强度工频磁场影响 MG-63 细胞增殖结果 (OD<sub>490</sub> 值,  $\bar{x} \pm s$ )

组别	细胞密度 ( $10^4$ 个/孔)					
	0.90	0.90	0.95	1.00	1.10	1.50
对照组	$0.335 \pm 0.142$	$0.331 \pm 0.093$	$0.420 \pm 0.114$	$0.564 \pm 0.111$	$0.617 \pm 0.100$	$2.139 \pm 0.417$
磁刺激组						
1 mT	$0.315 \pm 0.076^a$	$0.307 \pm 0.070^a$	$0.404 \pm 0.104$	$0.515 \pm 0.075^a$	$0.819 \pm 0.179^b$	$2.418 \pm 0.386^a$
2 mT	$0.407 \pm 0.142^a$	$0.412 \pm 0.159^a$	$0.608 \pm 0.127^b$	$0.700 \pm 0.160^b$	$0.854 \pm 0.143^b$	$1.935 \pm 0.425^a$
3 mT	$0.288 \pm 0.102^a$	$0.320 \pm 0.053$	$0.539 \pm 0.091^b$	$0.704 \pm 0.144^b$	$0.786 \pm 0.139^b$	$1.921 \pm 0.390^a$
4 mT	$0.337 \pm 0.110$	$0.320 \pm 0.057$	$0.521 \pm 0.130^b$	$0.640 \pm 0.188^a$	$0.753 \pm 0.122^b$	$2.048 \pm 0.438$

注: 与对照组比较, <sup>a</sup>P < 0.05, <sup>b</sup>P < 0.01

#### 六、统计学分析

所有数据以 ( $\bar{x} \pm s$ ) 表示, 应用 SPSS 13.0 版统计软件, 采用单因素方差分析进行统计学分析。

## 结 果

#### 一、MG-63 形态学观察

倒置相差显微镜下观察到: 接种于 96 孔板的细胞约 6 h 开始贴壁, 伸展成饱满梭形, 约 24 h 完全贴壁。磁刺激期间可见各孔细胞形态、长势均良好。

#### 二、磁场辐射对 MG-63 细胞体外增殖的影响

6 次增殖实验的结果数据见表 1。为了进行更直观的比较, 我们对结果数据进行了相应的处理并绘制图 1 和图 2。图 1 表示磁刺激组与对照组比较所得的相对值, 反映各磁刺激组促进或抑制增殖的程度; 图 2 表示各组实际吸光度值 (对应细胞密度)。

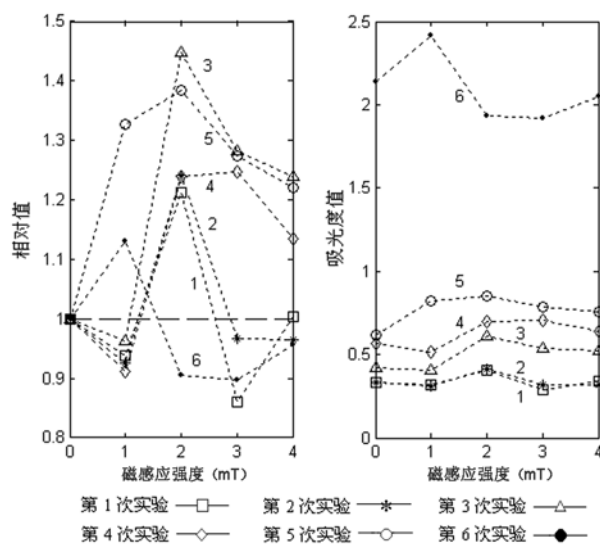


图 1 不同细胞密度下磁刺激组与对照组的吸光度比值比较

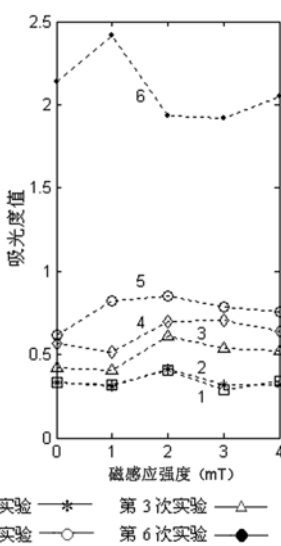


图 2 不同细胞密度下吸光度值比较

图 1 显示: 在 1 mT 磁场辐射下, 细胞接种密度较低的前 4 次实验均呈现出较弱的抑制效应, 而细胞接种密度相对较高的第 5, 6 次实验呈现出较强的促增殖效应; 磁感应强度为 2 mT 时, 前 5 次实验均呈现出较强的促增殖效应, 而细胞接种密度最高的第 6 次实验却呈现抑制效应; 磁感应强度为 3 mT 时, 第

3,4,5 次实验呈现促增殖效应,而细胞接种密度最低与最高的第 1,6 次实验呈现出较弱的抑制效应;磁感应强度为 4 mT 时,第 3,4,5 次实验呈现促增殖效应,另外 3 次实验与对照组比较,差异无统计学意义 ( $P > 0.05$ )。

图 2 显示:除了细胞接种密度相同的第 1,2 次实验外,其它各次实验对应各磁场强度窗口的增殖变化趋势并不相同。细胞接种密度越接近,其对应于各个磁场强度窗口的磁效应变化趋势也越相似,细胞接种密度相同的第 1,2 次实验的变化趋势基本吻合;细胞接种密度变化较大的第 6 次实验的变化趋势与前 5 次实验相比,有较明显的不同。

## 讨 论

骨折、骨折延期愈合及骨不连的临床治疗甚为棘手,传统植骨所用的自体骨或同种异体骨均是没有生命力的死骨,需要依赖人体对植入“死骨”的改造,因此成功率并不令人满意。骨髓间充质干细胞 (mesenchymal stem cell, MSC) 具有自我更新和多向分化的潜能,国内外一些学者试图利用 MSC 的这一特性建立骨组织的体外定向分化模型,为人体提供无排斥反应的自体资源。但目前骨外科领域的研究显示,利用自体 MSC 来修复肌肉骨骼系统的缺损,其在促生长因子的可调控性及有效性等技术性能的把握上仍不理想<sup>[2]</sup>。

为了揭示电磁场诱导成骨的生物理化机制,研究者们做了大量的体外实验。Sollazzo 等<sup>[3]</sup>研究了低能量低频脉冲磁场对人的成骨细胞及骨肉瘤细胞 MG-63 增殖的影响,发现血清浓度在其中起了一定作用。Fitzsimmons 等<sup>[4]</sup>给体外培养的鸡颅骨细胞施加电容耦合式正弦电场,测得频率为 16 Hz 的电场促进细胞生长的作用最显著;并且发现将被辐射的实验组培养基换给未经辐射的实验组后,后者的细胞生长也显著增快,因此他们认为电场作用可刺激有丝分裂素释放,进而提高细胞增殖水平。Guzelsu 等<sup>[5]</sup>利用自行研制的磁场发生器研究了低频电磁场对细胞环腺苷磷酸酶 (cyclic adenosine monophosphate, cAMP) 活性及 DNA 合成等的影响,认为电磁场首先激活骨细胞内的 cAMP 系统,然后依次活化各种酶系统,再由各种酶系统激活骨细胞,产生特殊的生理作用,因此可认为电磁刺激具有类似内分泌激素的作用,对骨细胞提供一种细胞外信息。此外,Liboff 等<sup>[6]</sup>认为,电磁场首先作用于细胞膜,然后通过酶的级联反应将信息传

给第二信使,进而达到细胞核,引起 DNA 变化。

从本实验结果,我们可以得出:(1)在细胞接种密度相同的情况下,磁效应的变化趋势基本吻合,说明本实验具有较好的可重复性。(2)不同强度的磁场辐射,既可能引起促增殖效应,也可能引起抑制效应,而且磁效应与磁场强度之间具有非线性关系,即存在窗口效应。(3)在相同强度磁场窗口下,细胞接种密度不同,磁效应可能产生不同的效果。当细胞密度相近时,磁效应的变化趋势基本相同;密度越接近,磁效应变化趋势越相似;当细胞密度相差较大时,甚至会出现相反的结果。这充分说明磁效应不仅取决于磁场窗口,也与细胞密度有关。(4)MG-63 细胞在密度为  $(0.90 \sim 1.10) \times 10^4$  个/孔时,在断续刺激模式(每天刺激 2 次,每次 30 min,中间间隔 11.5 h,持续 3 d)下,磁感应强度有效值为 2 mT 的磁场窗口的促增殖效果较好。

目前,电磁诱导成骨的机制研究仍在广泛而深入地进行,且不断有新的报道出现,但一些研究只能从某个侧面说明电磁场作用下细胞局部行为的变化,而并不能从本质上对机制作出解释。本研究探讨了工频磁场对 MG-63 细胞体外增殖的影响,对于不同频率、不同波形电磁场的磁效应将作为今后进一步深入研究的任务。

## 参 考 文 献

- [1] Bassett CAL, Pilla AA, Pawluk T. A non-operative salvage of surgically-resistant pseudarthrosis and non-unions by pulsing electromagnetic fields. A preliminary report. Clin Orthop, 1977, 124: 128-142.
- [2] Im GI, Kim DY, Shin JH, et al. Repair of cartilage defect in the rabbit with cultured mesenchymal stem cells from bone marrow. J Bone Joint Surg Br, 2001, 83: 289-294.
- [3] Sollazzo V, Traina GC, DeMattei M, et al. Responses of human Mg-63 osteosarcoma cell line and human osteoblast-like cells to pulsed electromagnetic fields. Bioelectromagnetics, 1997, 18: 541-547.
- [4] Fitzsimmons RJ, Farley JR, Adey WR, et al. Frequency dependence of increased cell proliferation, *in vitro*, in exposure to a low-amplitude, low-frequency electric field; evidence for dependency on increased mitogen activity released into culture medium. J Cell Physiol, 1989, 139: 586-591.
- [5] Guzelsu N, Salkind AJ, Shen X, et al. Effect of electromagnetic stimulation with different waveforms on cultured chick tendou fibroblasts. Bioelectromagnetics, 1994, 15: 115-131.
- [6] Liboff AR, Mcleod BR. Kinetics of channelized membrane ions in magnetic fields. Bioelectromagnetics, 1988, 9: 39-51.

(修回日期:2006-10-20)

(本文编辑:吴 倩)